

Kategorie:Chemie

Pages in category "Chemie"

The following 142 pages are in this category, out of 142 total.

A

- Acidobazická rovnováha
- Acidobazické indikátory
- Acidobazické reakce
- Alkoholy a fenoly
- Aminotransferázy
- Analytická chemie
- Arsenazo III
- Atom
- Atomová absorpční fotometrie
- Atomové jádro
- Automatické pipety
- Avogadrova konstanta

B

- Barevnost látek
- Biobanky
- Biochemická vyšetření jater
- Bod ekvivalence
- Bohrov model
- Bürkerova komůrka

C

- Centrifugace
- Chemická rovnováha
- Chemická sloučenina
- Chemická vazba
- Chemické reakce
- Chemické vlastnosti hlavních biogenních prvků
- Chemie
- Chloramin B
- Chromatografie
- Co pohání naše buňky

D

- Dezinficiencia a antiseptika
- Dialýza roztoků
- Důsledky a důvody pocení při fyzické aktivitě

E

- Elektrochemie
- Elektroodové děje
- Elektroodové děje/Elektrochemický potenciál
- Elektroodový potenciál
- Elektrolýza
- Enzymy (1. LF VL, Lékařská chemie a biochemie 1. paralelka)

F

- Fenolftalein
- Fenylalanin
- Filtrace
- Fluorimetrie
- Fosfatidylcholin
- Fotoluminiscence
- Fyzikálně-chemické vlivy působící na činnost enzymů

G

G

- Gelová permeační chromatografie
- Glucose
- Glukóza
- Glycerol
- Guajakol

H

- Hemostáza
- Hendersonova-Hasselbalchova rovnice
- Hendersonova-Hasselbalchova rovnice/odvození
- Hlavní znečišťující faktory vody

I

- Indukční efekt
- Intoxikace alkoholu
- Intoxikace oxidem uhelnatým
- Invertní cukr
- Izolace agranulocytů z periferní krve

K

- Koenzym A
- Kofein
- Kombinované poruchy acidobazické rovnováhy
- Komplexní sloučeniny
- Konduktometrie
- Koordinační reakce
- Koordinačně kovalentní vazba
- Korekce a kompenzace poruch acidobazické rovnováhy
- Kvalitativní analýza prvků důležitých z hlediska biologie a toxikologie
- Kyselina trihydrogenfosforečná
- Kyslík

L

- Lipoprotein (a)
- Luminimetrie
- Luminiscenční metody
- Lysozym
- Látková koncentrace

M

- Mapování genomu
- Metabolická acidóza
- Metabolická alkalóza
- Metanol
- Monitorování vnitřního prostředí v intenzivní péči
- Mutace
- Měření objemů
- Měření pH

N

- Nitrotetrazoliová modř
- Názvosloví anorganických sloučenin síry

O

- Odměrná analýza
- Osmolalita
- Oxidoredukční enzymy

P

- Periodická tabulka prvků
- PH
- PH silných kyselin a zásad
- PH solí
- PH-metrie

- Pipetování
- Plamenová emisní fotometrie
- Polarimetrie
- Polystyren
- Poruchy acidobazické rovnováhy
- Portál:Praktická cvičení z biochemie
- Principy léčby poruch acidobazické rovnováhy
- Práce s roztoky
- Pufrý
- Pufrý, pufrční kapacita, oxidoredukce, elektroodové děje (1. LF UK, VL)
- Přibližné rozpustnosti iontových sloučenin
- Příklady anorganických sloučenin významných v medicíně a toxikologii
- Příprava odměrných činidel

R

- Radioimunoanalýza (RIA)
- Radiolýza
- Redoxní potenciál
- Rekon
- Relativní hustota moči
- Relativní hustota moči/stanovení
- Respirační acidóza
- Respirační alkalóza
- Roztok

S

- Sacharáza
- Schiffovo činidlo
- Silikagel
- Skleněná elektroda
- Skleněná elektroda/podrobnosti
- Součin rozpustnosti
- Součiny rozpustnosti iontových sloučenin
- Spektrofotometrie
- Srážecí reakce
- Standardní podmínky
- Standardní vodíková elektroda
- Stanovení enzymové aktivity
- Stanovení metabolické aktivity buněk MTT testem
- Stanovení počtu buněk a jejich viability
- Stanovení počtu buněk, jejich viability a metabolické aktivity
- Steroly
- Síly působící mezi molekulami

T

- Teorie kyselin a zásad
- Titrační křivka
- Tollensova zkouška
- Turbidimetrie

V

- Vyšetření moči
- Vyšetření moči/chemické
- Vyšetření moči/Fyzikální

W

- Warburgův optický test

Z

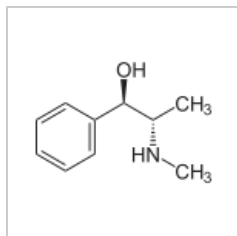
- Základní techniky práce s tkáňovými kulturami
- Základy organické chemie (1.LF VL)

Ú

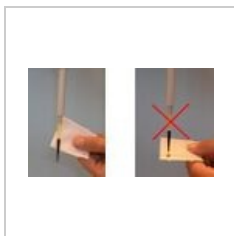
- Úvod do práce v biochemické laboratoři

Media in category "Chemie"

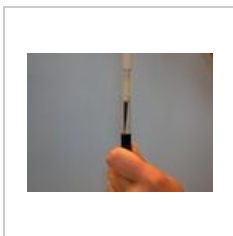
The following 107 files are in this category, out of 107 total.



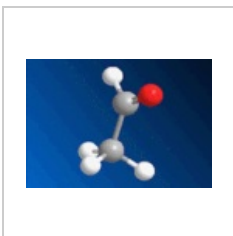
(-)-Ephedrin.svg
207 × 141; 14 KB



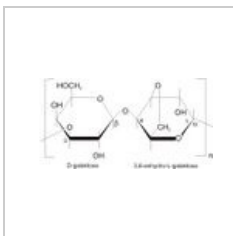
3.jpg
249 × 145; 4 KB



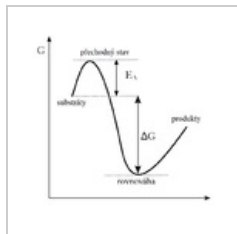
A.jpg
2,592 × 1,944; 985 KB



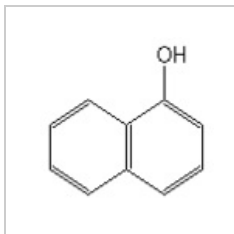
Acetaldehyd.gif
320 × 220; 2.71 MB



Agarosa.jpg
592 × 292; 24 KB



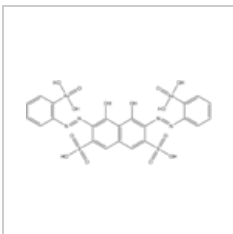
Aktivacni-egie-...
639 × 611; 21 KB



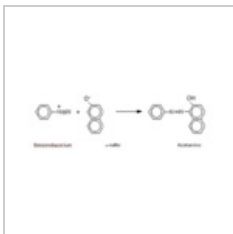
Alfa-naftol.png
122 × 113; 1 KB



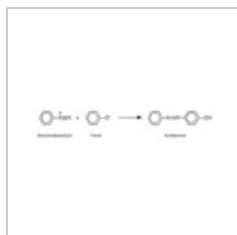
Analyzator.JPG
479 × 360; 35 KB



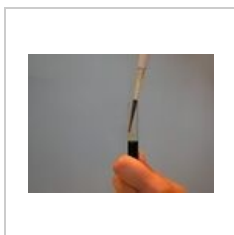
Arsenazo III.png
1,537 × 701; 22 KB



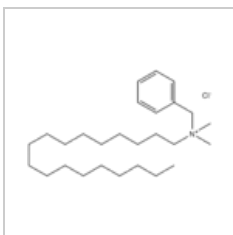
Azokopulační rea...
633 × 198; 21 KB



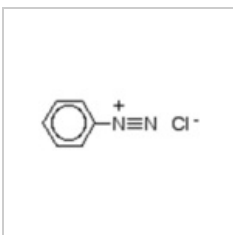
Azokopulační rea...
688 × 133; 15 KB



B.jpg
2,592 × 1,944; 976 KB



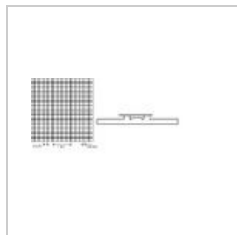
Benzalkonium ch...
1,019 × 596; 8 KB



Benzendiazoniu...
233 × 89; 5 KB



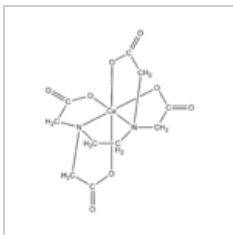
Bubliny1.jpg
43 × 105; 1 KB



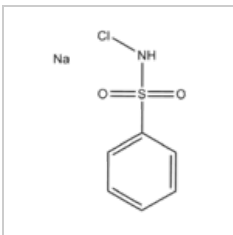
Burkerova komur...
741 × 352; 34 KB



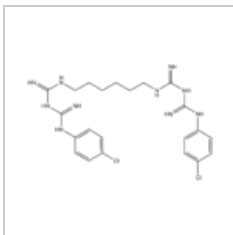
Ca-EDTA.jpg
1,016 × 144; 20 KB



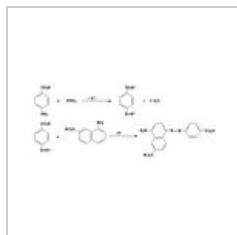
Ca-EDTA.png
830 × 1,014; 17 KB



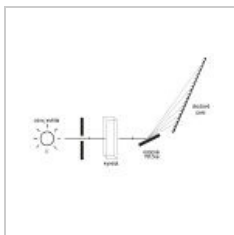
Chloramin B.png
441 × 596; 5 KB



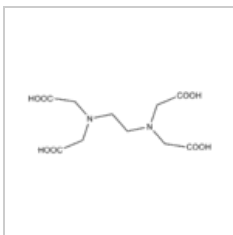
Chlorhexidin.png
1,356 × 851; 15 KB



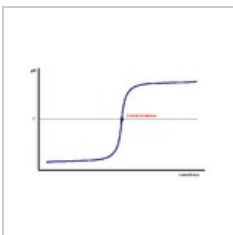
Diazotace.jpg
651 × 281; 21 KB



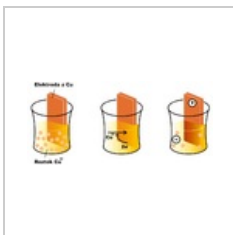
Diodové pole.jpg
960 × 720; 36 KB



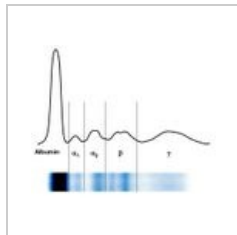
EDTA.png
937 × 322; 7 KB



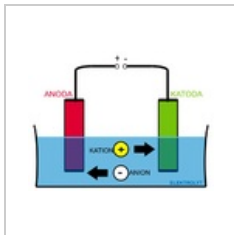
Ekvalence.PNG
772 × 489; 10 KB



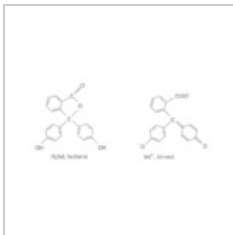
Elektrochemicky ...
900 × 406; 146 KB



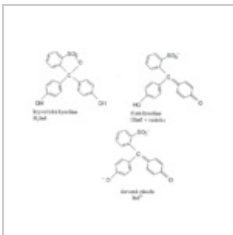
Elektroforéza.jpg
631 × 521; 36 KB



Elektrolyza.png
400 × 300; 31 KB



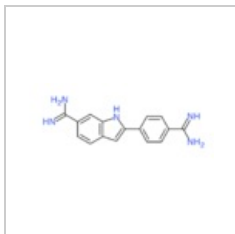
Fenolftalein.png
881 × 411; 58 KB



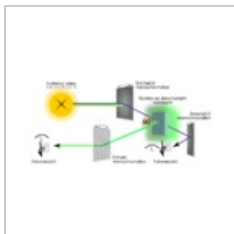
Fenolová červeň...
744 × 665; 66 KB



Filtrace.png
671 × 1,405; 23 KB



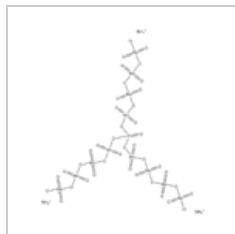
Fluorescenci so...
382 × 161; 16 KB



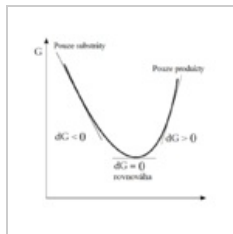
Fluorimeter diagr...
1,050 × 500; 36 KB



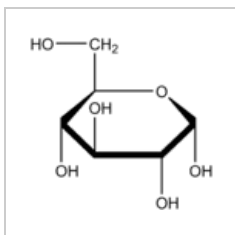
Fosfatidylcholin.p...
1,605 × 2,034; 48 KB



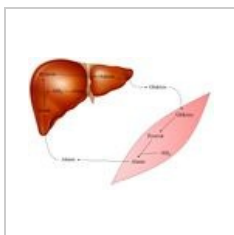
Fosfomolybdena...
1,690 × 1,906; 39 KB



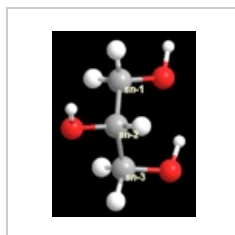
Gibsova-E---cj.png
640 × 612; 25 KB



Glukóza.png
1,207 × 1,124; 18 KB



Glukózo-alaninov...
873 × 623; 78 KB



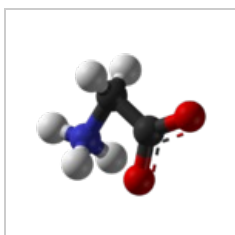
Glycerol stereoch...
386 × 496; 50 KB



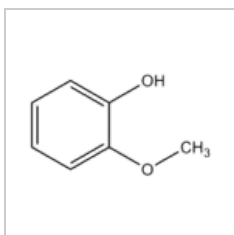
Glycerol.png
671 × 177; 4 KB



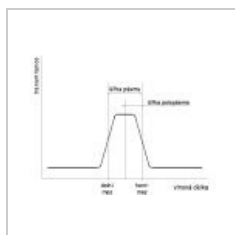
Glycerol2.png
597 × 145; 3 KB



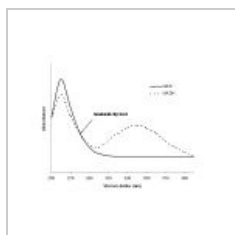
Glycin 2.png
705 × 600; 90 KB



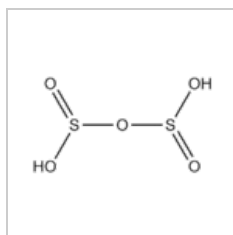
Guajakol.png
479 × 277; 4 KB



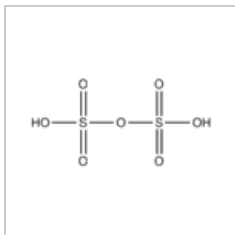
Interferenční filtr....
960 × 720; 36 KB



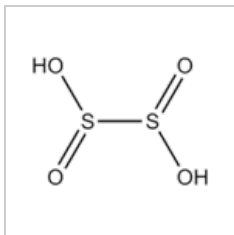
Isosbestický bod....
960 × 720; 34 KB



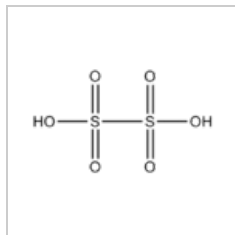
Kyselina disiřičitá...
484 × 264; 4 KB



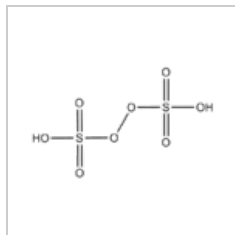
Kyselina disiřová...
608 × 298; 3 KB



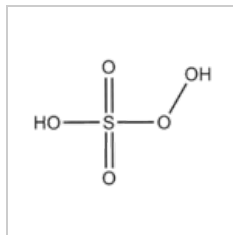
Kyselina dithionič...
359 × 264; 4 KB



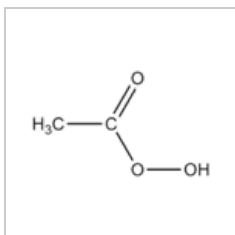
Kyselina dithiono...
509 × 298; 3 KB



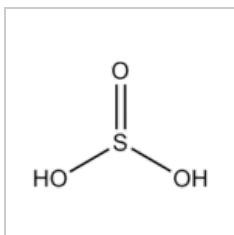
Kyselina peroxod...
671 × 406; 5 KB



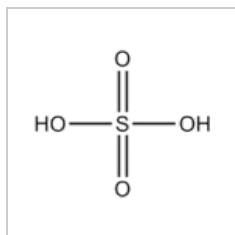
Kyselina peroxosí...
421 × 297; 3 KB



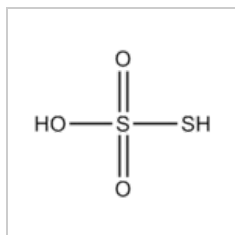
Kyselina peroxyo...
437 × 263; 3 KB



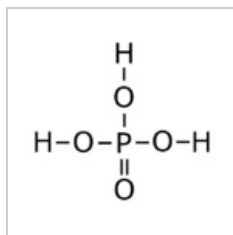
Kyselina siřičitá.p...
326 × 235; 3 KB



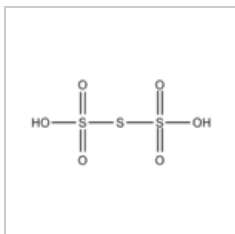
Kyselina sířová.png
359 × 298; 3 KB



Kyselina thiosířo...
357 × 298; 3 KB



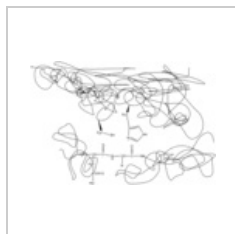
Kyselina trihydro...
500 × 450; 10 KB



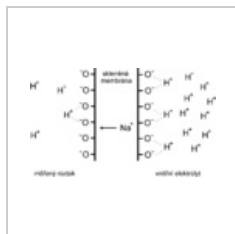
Kyselina trithiono...
615 × 298; 4 KB



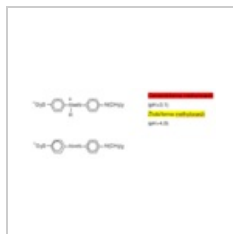
Kyvety.jpg
2,604 × 2,337;
4.11 MB



Mechanismus ka...
1,201 × 799; 2.31 MB



Membrána sklen...
2,172 × 1,270; 12 KB



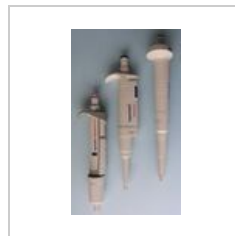
Metyloranž.png
573 × 215; 18 KB



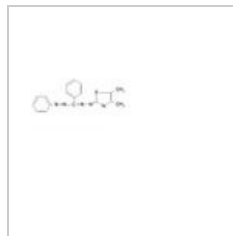
Mg-EDTA.jpg
1,016 × 144; 16 KB



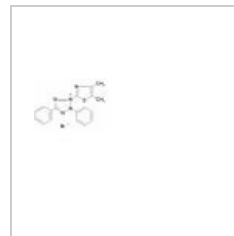
Mg-EČT.jpg
1,016 × 144; 14 KB



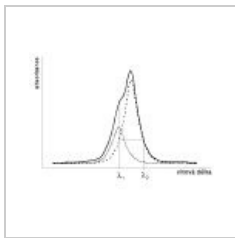
Mikrodávkováče.j...
1,459 × 2,448; 724 KB



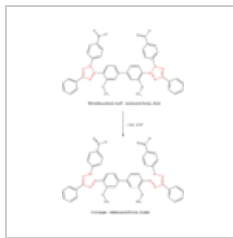
MTT f.JPG
741 × 352; 10 KB



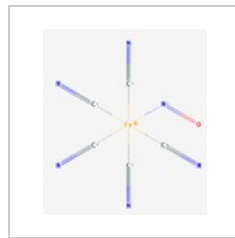
MTT ox.JPG
741 × 352; 11 KB



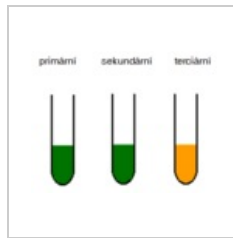
Multikomponentn...
960 × 720; 36 KB



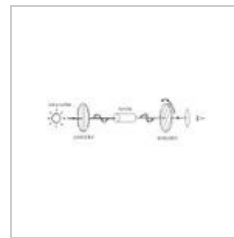
NBT.png
1,763 × 2,670; 67 KB



Nitroprusid.png
338 × 382; 8 KB



Oxidace alkoholů...
294 × 225; 7 KB



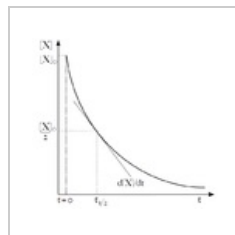
Polarimetrie.JPG
640 × 170; 14 KB



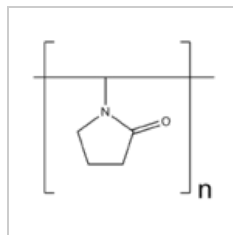
Polarizace světla...
2,500 × 806; 257 KB



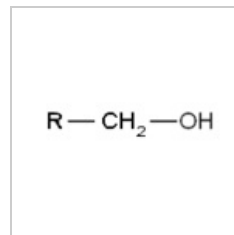
Polohy pipetován...
505 × 157; 9 KB



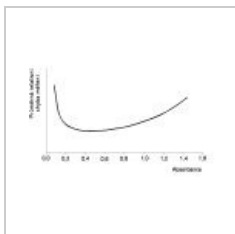
Poločas.png
638 × 589; 15 KB



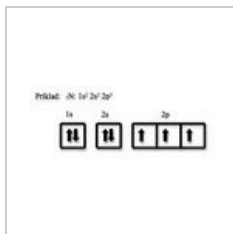
Povidon.png
620 × 560; 5 KB



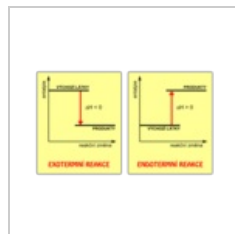
Primární alkohol...
147 × 32; 1,000 bytes



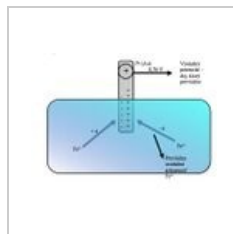
Přesnost fotomet...
960 × 720; 32 KB



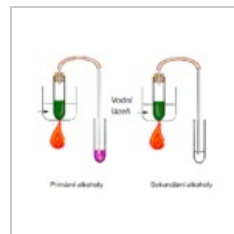
Příklad zaplňová...
418 × 166; 32 KB



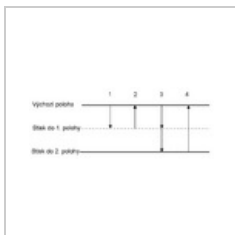
Reakce entalpie...
600 × 360; 26 KB



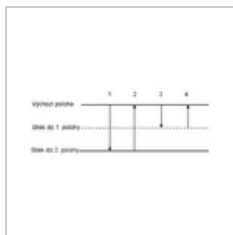
Redoxný potenci...
561 × 421; 49 KB



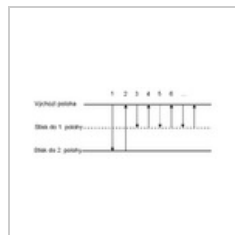
Rozlišení primárn...
437 × 334; 24 KB



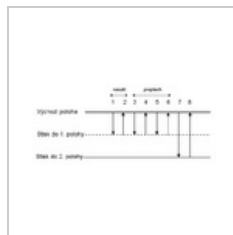
Schema pipetová...
640 × 243; 13 KB



Schema pipetová...
640 × 246; 13 KB



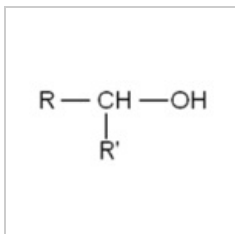
Schema pipetová...
640 × 243; 15 KB



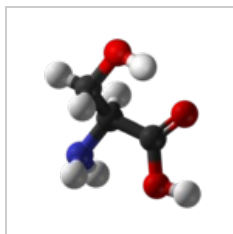
Schema pipetová...
640 × 281; 18 KB



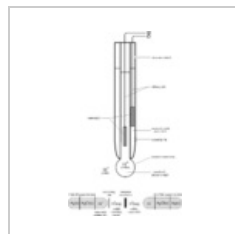
Schiffovo činidlo...
960 × 720; 134 KB



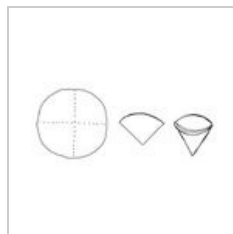
Sekundární alkoh...
137 × 64; 1 KB



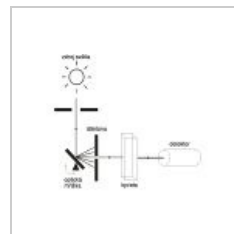
Serin 2.png
554 × 599; 83 KB



Skleněná elektro...
517 × 837; 36 KB



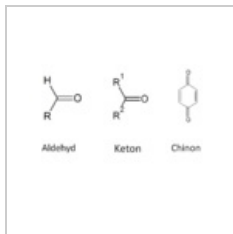
Skládání filtru.jpg
448 × 206; 9 KB



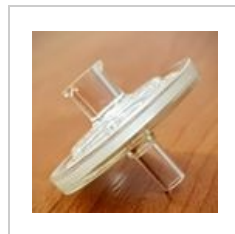
Spektrofotometr...
960 × 720; 36 KB



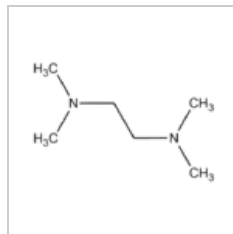
Spektrofotometri...
304 × 448; 42 KB



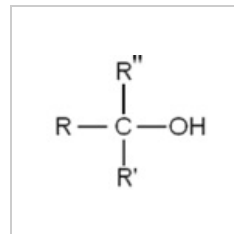
Struktura karbon...
960 × 720; 7 KB



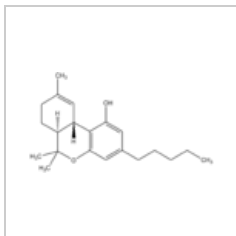
Stříkačkový filtr.j...
964 × 949; 94 KB



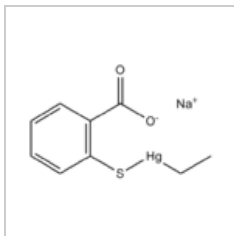
TEMED.png
579 × 381; 5 KB



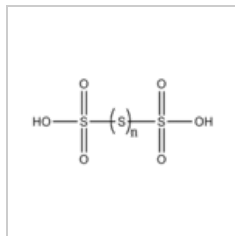
Terciární alkohol...
135 × 98; 2 KB



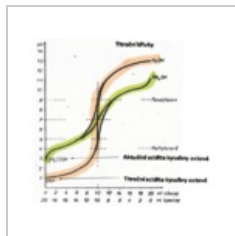
THC.png
1,233 × 665; 12 KB



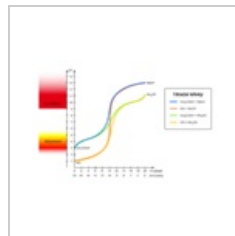
Thimerosal.png
613 × 388; 6 KB



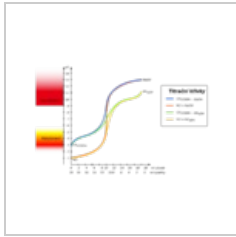
Thionové kyselin...
615 × 298; 5 KB



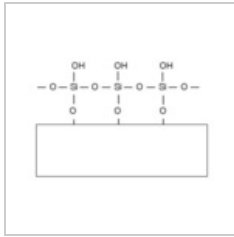
Titrační křivka.png
724 × 657; 358 KB



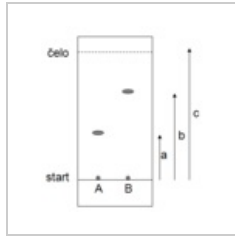
Titrační křivky.png
1,080 × 720; 74 KB



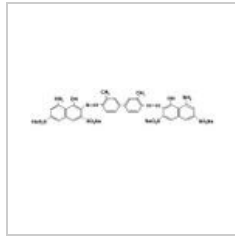
Titrační křivky.svg
1,080 × 720; 34 KB



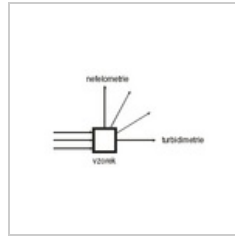
TLC se silikagele...
350 × 236; 9 KB



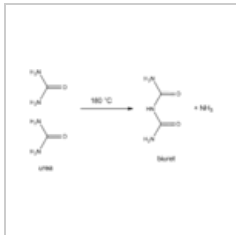
TLC.png
332 × 374; 9 KB



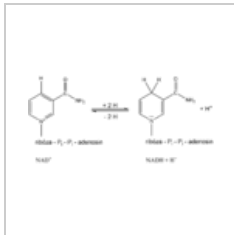
Trypanova modr...
1,027 × 352; 27 KB



Turbidimetrie a n...
269 × 150; 3 KB



Vznik biuretu.png
1,330 × 745; 13 KB



Warburgův test.p...
1,539 × 740; 18 KB